

# ارائه یک روش ترکیبی به منظور استخراج و رده‌بندی عوارض متحرک در فریم تصاویر ویدئویی جلونگ مادون قرمز

احمد ابوطالبی<sup>\*</sup>، فرهاد صمدزادگان<sup>۲</sup>، قاسم عبدی<sup>۳</sup>

<sup>۱</sup>دانشجوی دکتری فتوگرامتری - گروه مهندسی نقشه برداری - پردیس دانشکده‌های فنی - دانشگاه تهران  
abootalebi@ut.ac.ir

<sup>۲</sup>استاد گروه مهندسی نقشه برداری - پردیس دانشکده‌های فنی - دانشگاه تهران  
samadz@ut.ac.ir

<sup>۳</sup>دانشجوی دکتری فتوگرامتری - گروه مهندسی نقشه برداری - پردیس دانشکده‌های فنی - دانشگاه تهران  
ghasem.abdi@ut.ac.ir

(تاریخ دریافت بهمن ۱۳۹۱، تاریخ تصویب اسفند ۱۳۹۱)

## چکیده

استخراج و رده‌بندی عوارض در تصاویر ویدئویی به عنوان یک موضوع کلیدی در مباحث بینایی کامپیوترا محسوب می‌گردد، و می‌تواند به عنوان چشم‌انداز کارهای سطوح پایین تر برای رسیدن به سطوح بالاتر استفاده گردد. در سال‌های اخیر، روش‌های گوناگونی به منظور استخراج و تشخیص عوارض در فریم تصاویر مادون قرمز به خصوص در زمینه‌های پایش، نظارت و امنیت پدیده‌ها پیشنهاد شده است. با این وجود، استخراج و رده‌بندی عوارض متحرک در فریم تصاویر ویدئویی مادون قرمز می‌تواند ناشی از تمویر نمودن فضای سه‌بعدی در فضای دو بعدی، نویز در تصاویر، حرکت‌های پیچیده عوارض، عوارض غیر صلب، پنهان بودن بخشی از عوارض، پیچیدگی اشکال عوارض، تغییرات روش‌نایی محیط و نیاز به پردازش‌های آنی پیچیده گردد. از آنجائیکه روش‌های موجود در این زمینه بسیار پیچیده و زمان بر می‌باشند، در این تحقیق روشی نوین در زمینه رده‌بندی عوارض متحرک به منظور افزایش قابلیت اعتماد، سرعت و دقت در استخراج و رده‌بندی عوارض متحرک از فریم تصاویر ویدئویی مادون قرمز ارائه شده است. به همین منظور ابتدا با استفاده از الگوریتم‌های تناظریابی عارضه‌مبنی حرکت ایجاد شده توسط جایجایی سکو حذف می‌گردد. سپس با استفاده از الگوریتم تفاوت فریمه‌های جمع‌شونده، عوارض متحرک استخراج و در نهایت با استفاده از الگوریتمی مبتنی بر قیود هندسی و رادیومتریکی نظری مدل کینماتیک سرعت ثابت، تقاطع هیستوگرام‌ها، متوسط درجات خاکستری و سایز عوارض، عوارض استخراج شده از الگوریتم تفاوت از الگوریتم‌های تناظریابی شده، عوارض متحرک در مجموعه داده‌های دارای پیچیدگی‌های مختلف و با شرایط متفاوت استخراج و رده‌بندی گردید. همچنین توانایی روش ارائه شده توسط متريک‌های مختلفی نظير HR، FAR، MODP و MOTP ارزیابی گردید. نتایج حاصل بیانگر توانایی روش ارائه شده به منظور استخراج و رده‌بندی عوارض متحرک مختلف نظير عابر و خودرو می‌باشد.

**واژگان کلیدی :** تصاویر مادون قرمز، استخراج عوارض، تفاوت فریمه‌های جمع‌شونده، رده‌بندی عوارض، مدل کینماتیک سرعت ثابت، تقاطع هیستوگرام‌ها.

\* نویسنده رابط

## ۱- مقدمه

سرعت و دقت در استخراج و رده‌بندی عوارض طراحی و پیاده‌سازی گردیده است. به همین منظور ابتدا با استفاده از الگوریتم‌های تناظریابی عارضه‌منبا حرکت ایجاد شده توسط جاگایی سکو حذف می‌گردد. سپس با استفاده از الگوریتم تفاوت فریم‌های جمع‌شونده<sup>۷</sup> [۱۶]، عوارض متحرک استخراج و در نهایت با استفاده از الگوریتمی مبتنی بر قیود هندسی و رادیومتریکی نظیر مدل کینماتیک سرعت ثابت، تقاطع هیستوگرام‌ها<sup>۸</sup>، متوسط درجات خاکستری و سایز عوارض، عوارض استخراج شده فریم به فریم رده‌بندی می‌شوند. در ادامه، مرور اجمالی بر برخی از تحقیقات انجام شده ارائه می‌شود. سپس مفاهیم روش پیشنهادی مورد بحث و بررسی قرار می‌گیرد. در زمینه پیاده‌سازی و استفاده عملی از روش ارائه شده، آزمایشات عملی و ارزیابی آن‌ها بیان شده و در نهایت خلاصه‌ای از نتایج کسب شده به همراه پیشنهادات ارائه می‌گردد.

## ۲- مروری بر تحقیقات انجام گرفته

در سال‌های اخیر الگوریتم‌های استخراج و رده‌بندی عوارض متحرک پیشرفته‌های بسیار زیادی داشته است [۱-۴، ۶-۸]. در این راستا، Hakeem و سایر همکاران در سال ۲۰۰۵ یک سیستم رده‌بندی مبتنی بر استخراج عوارض و تعیین مدل ظاهری آن‌ها با استفاده از ضرایب IPCA<sup>۹</sup> ارائه نمودند. در این سیستم بعد از استخراج عوارض، با استفاده از ضرایب اصلی مدل ظاهری، عوارض جهت رده‌بندی می‌شوند [۱۷]. Shah و Ali در سال ۲۰۰۶ سیستم COCOA که دارای سه قسمت اصلی جبران حرکت<sup>۱۰</sup>، استخراج، و رده‌بندی عوارض متحرک می‌باشد را ارائه نمودند. در این سیستم جبران حرکت با استفاده از تناظریابی فریم به فریم صورت می‌گیرد، و سپس عوارض متحرک با استفاده از مدل‌سازی زمینه، استخراج و رده‌بندی می‌گردد. همچنین این سیستم قابلیت رده‌بندی عوارض در سنسورهای الکترواپتیکی و مادون قرمز را دارد [۴]. Gupta و

استخراج و رده‌بندی عوارض در تصاویر ویدئویی به عنوان یک موضوع کلیدی در مباحث بینایی کامپیوتر محسوب می‌گردد، و می‌تواند به عنوان چشم‌انداز کارهای سطوح پایین‌تر برای رسیدن به سطوح بالاتر استفاده گردد [۱-۸]. برای رده‌بندی عوارض کاربردهای مختلفی نظیر تعامل انسان و کامپیوتر<sup>۱۱</sup>، امنیت و نظارت<sup>۱۲</sup>، فشرده‌سازی تصاویر<sup>۱۳</sup>، کنترل ترافیک، تصویربرداری پزشکی و ویرایش تصاویر ویدئویی می‌توان در نظر گرفت. در بسیاری از این کاربردها هدف اصلی، رده‌بندی عوارض متحرکی است که در انواع سنسورها شامل الکترواپتیکی و مادون قرمز، و انواع سکوها شامل ثابت، دستی<sup>۱۴</sup>، و سکوهای هوایی مشاهده می‌شوند [۹].

در دهه‌های اخیر الگوریتم‌های بسیار زیادی به منظور رده‌بندی عوارض در حالت‌های مختلف پویایی دوربین و پویایی عوارض ارائه شده‌اند [۶، ۱۰]. رده‌بندی عوارض متحرک می‌تواند ناشی از تصویر نمودن فضای سه‌بعدی در فضای دو‌بعدی، نویز در تصاویر، حرکت‌های پیچیده، عوارض، عوارض غیرصلب، پنهان بودن بخشی از عوارض، پیچیدگی اشکال عوارض، تغییرات روش‌نایی محیط و نیاز به پردازش‌های آنی پیچیده گردد [۹، ۱۱]. در سال‌های اخیر، تحقیقاتی به منظور حل مشکلات مطرح شده صورت گرفته است و روش‌هایی نظیر رده‌بندی بهوسیله‌ی استخراج عوارض<sup>۱۵</sup> مورد توجه بسیاری از محققین قرار گرفته است [۱۲]. چنین روش‌هایی شامل پروسه‌ی استخراج عوارض بر روی هر فریم و رده‌بندی این عوارض در فریم‌های متوالی می‌باشند. همچنین اخیراً الگوریتم‌های رده‌بندی چند عارضه‌ای<sup>۱۶</sup> به بررسی نتایج رده‌بندی عوارض بهوسیله‌ی بهینه‌سازی استخراج عوارض با بکارگیری بازه‌ی زمانی بزرگتر بین فریم‌ها پرداخته‌اند [۶، ۱۳-۱۵]. از آنجائیکه روش‌های موجود در این زمینه بسیار پیچیده و زمان بر می‌باشند، در این تحقیق روشی نوین در زمینه رده‌بندی عوارض به منظور افزایش قابلیت اعتماد،

<sup>۱</sup> Human-Computer Interaction

<sup>۲</sup> Security and Surveillance

<sup>۳</sup> Video Compression

<sup>۴</sup> Hand-held Camera

<sup>۵</sup> Tracking-by-Detection

<sup>۶</sup> Multi-Target Tracking

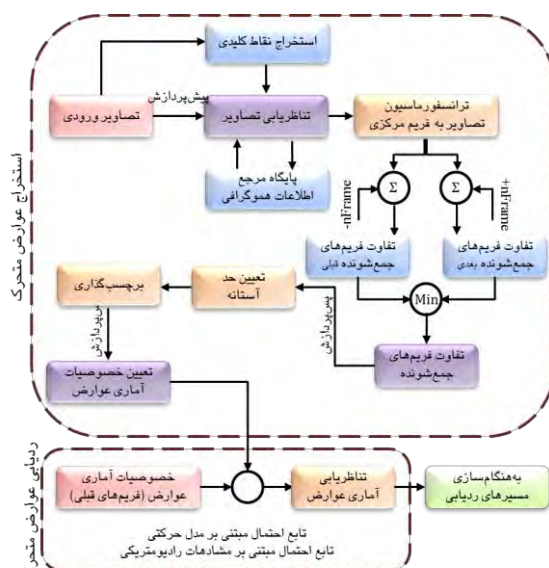
<sup>۷</sup> Accumulative Frame Difference (AFD)

<sup>۸</sup> Histogram Intersection

<sup>۹</sup> Incremental Principal Component Analysis

<sup>۱۰</sup> Motion Compensation

عارض متحرک را ریدیابی کند، طراحی و پیاده‌سازی گردیده است. به همین منظور ابتدا با استفاده از الگوریتم‌های تناظریابی عارضه‌بنا حرکت ایجاد شده توسط جابجایی سکو حذف می‌گردد. سپس با استفاده از الگوریتم تفاوت فریم‌های جمع‌شونده، عارض متحرک استخراج و در نهایت با استفاده از الگوریتمی مبتنی بر قیود هندسی و رادیومتریکی نظیر مدل کینماتیک سرعت ثابت، تقاطع هیستوگرامها، متوسط درجات خاکستری و سایز عارض، عارض استخراج شده فریم به فریم ریدیابی می‌شوند (شکل ۱). در شکل زیر ساختار و مراحل روش پیشنهادی نمایش داده شده و توضیحات مرتبط با هر مرحله در بخش‌های بعدی ارائه گردیده است.



شکل ۱- ساختار و مراحل پیشنهادی

### ۱-۳- استخراج عارض

استخراج عارض از تصاویر ویدئویی اولین گام استخراج اطلاعات در بسیاری از کاربردهای بینایی کامپیووتر می‌باشد [۲۰]. اگرچه در سال‌های اخیر تحقیقات بسیار زیادی به منظور استخراج عارض صورت گرفته است، این موضوع هنوز بعنوان یک چالش اساسی در نظر گرفته می‌شود [۲۱]. همانگونه که در شکل ۱ نشان داده شده است، الگوریتم استخراج عارض در این تحقیق از سه قسمت اصلی پیش‌پردازش، تولید تفاوت فریم جمع‌شونده و تعیین موقعیت عارض تشکیل گردیده است.

Kulkarni در سال ۲۰۰۸ با استفاده از مفاهیم تطبیق الگوی پویا<sup>۱</sup> و تفاوت فریم‌ها، یک سیستم دقیق ریدیابی تک عارضه‌ای ارائه نمودند. در این سیستم ابتدا از طریق تفاوت بین فریم‌ها عارضه مورد نظر استخراج، و سپس با استفاده از یک الگوریتم تطبیق الگو کارآمد عارضه استخراج شده در فریم‌های متوالی ریدیابی می‌گردد [۱۸]. Lin و سایر همکاران در سال ۲۰۰۹ به موضوع نظارت بر ترافیک شهری با استفاده از یک سکوی هوایی پرداختند. در این روش وسائل نقلیه متحرک با استفاده از الگوریتم‌های تشخیص جاده استخراج می‌گردند. سپس برای کاهش میزان نویز عارض استخراج شده از یک طبقه‌بندی آبشاری<sup>۲</sup> جهت بهبود روند استخراج عارض استفاده می‌گردد [۲]. همچنین Johnsen و Tews در سال ۲۰۰۹ یک سیستم برای شناسایی و طبقه‌بندی انسان و وسائل نقلیه در هر نوع شرایط آب و هوایی ارائه کردند. این سیستم از سه قسمت بخش‌بندی حرکت توسط فیلتر میانه تقریبی، استخراج عارض از طریق تفاضل فریم از زمینه<sup>۳</sup> و تشخیص نوع عارضه تشکیل گردیده است [۱۹]. Bhattacharya و سایر همکاران در سال ۲۰۱۱ برای تکمیل سیستم COCOA، سیستمی دارای طراحی و پیاده‌سازی متفاوتی ارائه نمودند. این سیستم نیز از سه قسمت اصلی جبران حرکت، استخراج، و ریدیابی عارض متحرک تشکیل شده است. همچنین این سیستم علاوه بر حالت ریدیابی در تمامی فریم‌ها، ریدیابی آنی را نیز شامل می‌شود [۱۱].

### ۳- روش پیشنهادی

همانگونه که در بخش‌های پیشین بیان گردید، نیاز به یک سیستم ترکیبی به منظور دستیابی به یک سیستم مستقل، دقیق و قابل اعتماد در اکثر کاربردهای ریدیابی عارض امری اجتنابناپذیر می‌باشد. از این‌رو در این تحقیق، یک روش ترکیبی به منظور استخراج و ریدیابی عارض که بتواند با وجود مشکلات ذکر شده و محدودیت‌های مطرح در این زمینه بهصورت اتوماتیک،

<sup>۱</sup> Dynamic Template Matching

<sup>۲</sup> Cascade Classifier

<sup>۳</sup> Background Subtraction

<sup>۴</sup> Batchmode Processing

### ۱-۱-۳- پیش‌پردازش

یکی از مشکلات عمدی، تغییرات سریع درجات خاکستری پیکسل‌ها، ناشی از تنظیم اتوماتیک ضربی کالیبراسیون دوربین می‌باشد. این تغییرات باعث پایین آمدن کارایی الگوریتم‌های استخراج عوارض مبتنی بر تفاوت فریم‌ها می‌شوند [۲۲]. در این تحقیق به منظور کاهش این تغییرات از یک مدل نرمالیزاسیون بهصورت زیر استفاده می‌گردد:

$$(1) \quad Im(i) = \frac{Im(i) - mean(Im(i))}{std(Im(i))}$$

در رابطه فوق،  $mean(Im(i))$  میانگین درجات خاکستری و  $std(Im(i))$  انحراف معیار تصویر مورد نظر می‌باشند.

### ۲-۱-۳- تولید تفاوت فریم جمع‌شونده

به منظور تعیین عوارض در حال حرکت، تعداد  $2n+1$  فریم (پنجره زمانی<sup>۱</sup>) در اطراف فریم کنونی در نظر گرفته می‌شود. سپس با استفاده از این فریم‌ها مجموع تفاوت فریم‌های قبلی و بعدی بهصورت زیر محاسبه می‌گردد:

$$(2) \quad AFDB = \sum_{k=i-n}^i |Im(i) - W(Im(i), Im(k))|$$

$$AFDF = \sum_{k=i}^{i+n} |Im(i) - W(Im(i), Im(k))|$$

در این رابطه،  $W(Im(i), Im(k))$  بیانگر ترانسفورماتیون از فریم  $k$  به فریم  $i$  نام می‌باشد. بدین منظور ابتدا با استفاده از اپراتور SURF<sup>۲</sup> نقاط کلیدی استخراج و سپس با استفاده از الگوریتم نزدیکترین همسایگی<sup>۳</sup> و RANSAC<sup>۴</sup> نقاط متناظر استخراج می‌گردد. با استفاده از این نقاط متناظر ماتریس

هوموگرافی<sup>۵</sup> (ماتریس ترانسفورماتیون) قابل برآورده باشد. همچنین با ارزیابی سایزهای متفاوتی از پنجره زمانی، می‌توان بیان نمود که، زمانیکه  $n$  به دو نزدیک گردد عوارض بهصورت ناقص و زمانیکه به ده نزدیک گردد عوارض بهصورت کامل و با دقت بالایی استخراج می‌شوند.

بعد از تولید مجموع تفاوت فریم‌های قبلی و بعدی جهت کاهش نویز نمک-فلفلی<sup>۶</sup> این تصاویر، از فیلتر میانه استفاده می‌گردد. بعد از نرم کردن تصاویر، به منظور استخراج عوارض متحرک در یک جهت ثابت، از اپراتور Min بین این تصاویر بهصورت زیر استفاده می‌گردد:

$$(3) \quad AFD = \min(\text{medfilt}(AFDB), \text{medfilt}(AFDF))$$

سپس برای افزایش دقت و صحت ماسک عوارض مورد نظر، از اپراتورهای مورفولوژی بهخصوص اپراتور FILL استفاده می‌شود [۲۳]. در نهایت با نرمالیزه کردن این فریم بین صفر و یک و اعمال اتوماتیک یک حد آستانه (رابطه<sup>۴</sup>) تفاوت فریم جمع‌شونده تولید می‌گردد [۲۴]:

$$(4) \quad u = \frac{1}{r * c} \sum_{i=1}^r \sum_{j=1}^c AFD(i, j)$$

$$\sigma = \sqrt{\frac{1}{r * c} \sum_{i=1}^r \sum_{j=1}^c (AFD(i, j) - u)^2}$$

$$T = 1.5 * \sigma$$

در رابطه فوق،  $[r, c]$  ابعاد تفاوت فریم جمع‌شونده می‌باشند.

### ۱-۳-۳- تعیین موقعیت عوارض

در این بخش عوارض مورد نظر با استفاده از الگوریتم Connected Component Labeling برچسب‌گذاری شده و اطلاعاتی نظیر مختصات، عرض، طول، سرعت، اطلاعات هیستوگرامی، متوسط درجات خاکستری و

<sup>۵</sup> Homography Matrix

<sup>۶</sup> Salt-Pepper Noise

<sup>۱</sup> Temporal Window

<sup>۲</sup> Speeded-Up Robust Feature

<sup>۳</sup> Nearest Neighbor

<sup>۴</sup> RANdom SAmple Consensus

استخراج شده در دو فریم متواالی، مسئله ردیابی ایجاد تناظریابی یک به یک بین  $b^i \in B_t$  و  $b^{j+1} \in B_{t+1}$  می‌باشد [۱۱]. در این تحقیق همانگونه که در شکل ۱ نشان داده شده است، ردیابی عوارض استخراج شده با استفاده از الگوریتمی مبتنی بر قیود هندسی و رادیومتریکی نظیر مدل کینماتیک سرعت ثابت، تقاطع هیستوگرامها، متوسط درجات خاکستری و سایز عوارض صورت می‌گیرد.

### ۱-۲-۳- قید هندسی

در فریم  $\alpha$  بردار حالت یک عارضه استخراج شده ( $X_t^i$ ) متعلق به مجموعه عوارض استخراج شده در فریم مربوطه توسط تاریخچه‌ای از اطلاعات موقعیتی و سرعتی بهصورت زیر نمایش داده می‌شود:

$$X_t^i = \begin{bmatrix} x_t^i, y_t^i, v_{x_t}^i, v_{y_t}^i \end{bmatrix} \quad (8)$$

در رابطه فوق،  $(x_t^i, y_t^i)$  موقعیت دو بعدی در سیستم مختصات تصویر و  $(v_x^i, v_y^i)$  مرتبط با سرعت جابجائی عارضه مورد نظر می‌باشند. بردار حالت برای این عارضه در فریم  $\alpha$  بهصورت زیر پیش‌بینی می‌گردد:

$$\begin{bmatrix} x_{t+1} \\ y_{t+1} \end{bmatrix}_{predict} = \begin{bmatrix} x_t \\ y_t \end{bmatrix} + \begin{bmatrix} v_{x_t} \\ v_{y_t} \end{bmatrix} + \begin{bmatrix} \gamma_x \\ \gamma_y \end{bmatrix} \quad (9)$$

در این رابطه،  $(\gamma_x, \gamma_y)$  نویز گوسین با میانگین صفر و کوواریانس  $Q$  در نظر گرفته می‌شود. در نهایت احتمال مبتنی بر قیود کینماتیک یک عارضه مشخص با بردار حالت  $X_t^i$  در فریم  $\alpha$  با عوارض استخراج شده در فریم  $\alpha$  بهصورت زیر نوشته می‌شود:

$$P_m(b_{t+1}^j | X_t^i) = \frac{1}{(x_{t+1}^i - x_{t+1}^j)^2 + (y_{t+1}^i - y_{t+1}^j)^2} \quad (10)$$

### ۱-۲-۳- قیود رادیومتریکی

علاوه بر قید هندسی توضیح داده شده در بخش قبلی، مولفه‌ی اصلی دیگر جهت ردیابی عوارض در فریم‌های

سایز آن‌ها به منظور استفاده در الگوریتم ردیابی ذخیره می‌گردد. همچنین در این بخش به منظور حذف اشتباهات استخراج عوارض، از مفاهیم متوسط درجات خاکستری، فشرده‌گی و خروج از مرکز بهصورت زیر استفاده می‌گردد:

- متوسط درجات خاکستری در عوارض متحرک بالاتر از نویزها می‌باشد (رابطه ۵).
- عوارض متحرک از اشکال منظم و فشرده‌تری تشکیل می‌شوند (رابطه ۶).
- خروج از مرکزیت عوارض متحرک نیز منظم‌تر می‌باشند (رابطه ۷).

$$MeanGrayArea^i = \frac{\sum AFD(x, y)}{|b_t^i|} \quad (5)$$

$$Compactness^i = \frac{|p(b_t^i)|}{|b_t^i|} \quad (6)$$

$$Eccentricity^i = \sqrt{\frac{2C_{xy}}{u_{xx} + u_{yy} + C_{xy}}} \quad (7)$$

$$u_{xx} = \frac{\sum (x - \bar{x})^2}{|b_t^i|} + \frac{1}{12}, u_{yy} = \frac{\sum (y - \bar{y})^2}{|b_t^i|} + \frac{1}{12}$$

$$C_{xy} = \sqrt{(u_{xx} - u_{yy})^2 + 4u_{xy}}, u_{xy} = \frac{\sum (x - \bar{x})(y - \bar{y})}{|b_t^i|}$$

در رابطه فوق،  $1/12$  مومنتوم مرکزی دوم یک پیکسل را نسبت به واحد طول نرمالیزه می‌نماید.

### ۱-۲-۳- ردیابی عوارض

همانگونه که در بخش‌های پیشین بیان گردید، در فرآیند استخراج عوارض یک مجموعه برچسب‌های واحد به مجموعه پیکسل‌های هر تصویر نسبت داده می‌شود که بطور ایده‌آل، هر برچسب مربوط به یک عارضه متحرک می‌باشد. بدین ترتیب در هر فریم، عوارض استخراج شده بهصورت  $B_t = \{b^i\}$  نشان داده می‌شود که در این رابطه  $O_t \leq i \leq O_t$  تعداد عوارض استخراج شده در فریم مربوطه می‌باشد. حال با داشتن مجموعه عوارض

متفاوت، می‌توان از یک تکنیک تناظریابی محلی جهت ردیابی عوارض استفاده نمود. در این تکنیک هدف استخراج نزدیکترین مسیر ردیابی برای عارضه استخراج شده می‌باشد [۲۵]. به صورت خلاصه، برای مسیر ردیابی شده عارضه نام، عارضه انتخاب شده جهت ادامه این مسیر به صورت زیر انتخاب می‌گردد:

$$b_{t+1}^i = \arg \max_{j \in [I, O_{t+1}]} P(b_{t+1}^j / X_t^i, \delta_c^i, \delta_g^i, \delta_a^i) \quad (12)$$

همچنین اگر عارضه‌ای در مجموعه عوارض استخراج شده در فریم  $t+1$  دارای متناظری با مسیرهای ردیابی شده نباشد، این عارضه مسیر ردیابی جدیدی را آغاز می‌کند، و اگر مسیرهای ردیابی شده تا فریم  $t$  دارای متناظری در مجموعه عوارض استخراج شده در فریم  $t+1$  نباشد، مسیر ردیابی شده برای این عارضه قطع می‌گردد.

#### ۴- پیاده‌سازی و ارزیابی نتایج

در این تحقیق به منظور ارزیابی توانایی روش ارائه شده در استخراج و ردیابی عوارض متحرک، از چهار مجموعه تصاویر ویدئویی در طیف مادون قرمز استفاده شده است (شکل ۳). مجموعه تصاویر ویدئویی اول و دوم توسط یک سکوی ثابت شامل عوارض متحرک گوناگون می‌باشد. این مجموعه داده دارای سطح نویز بالایی بوده و اهمیت آن جهت ارزیابی توانایی روش ارائه شده بیشتر به طیف گسترده عوارض متحرک و پنهان شدگی آن‌ها در بخش‌هایی از تصاویر می‌باشد. مجموعه تصاویر ویدئویی سوم و چهارم به عنوان مجموعه داده‌های مرجع DARPA VIVID توسط یک سکوی پرنده اخذ و ثبت شده‌اند. مجموعه تصاویر ویدئویی سوم از یک خودروی کامپیونت اخذ شده است که در بخش‌هایی از تصاویر توسط درختان پوشیده می‌شود. اهمیت این مجموعه داده جهت ارزیابی توانایی روش‌های استخراج عوارض متحرک می‌باشد، زیرا این مجموعه شامل عوارض ارتفاعی است که با توجه به خطای پارالاکس، آن‌ها نیز تحت عوارض متحرک استخراج می‌شوند. مجموعه تصاویر ویدئویی چهارم نیز طی یک مسیر جاده‌ای اخذ شده است که شامل عوارضی است که در بخش‌هایی از

متوالی، قیود مبتنی بر اطلاعات رادیومتریک می‌باشد. در این تحقیق همانگونه که در بخش‌های قبلی ذکر گردید، جهت درنظرگیری اطلاعات رادیومتریک از قیود اطلاعات هیستوگرامی، متوسط درجات خاکستری و سایز عوارض استفاده می‌گردد. این قیود برای یک عارضه استخراج شده مشخص به صورت  $P_c(b_{t+1}^j / X_t^i, \delta_c^i, \delta_g^i, \delta_a^i)$  نشان داده می‌شوند. احتمال مبتنی بر قید اطلاعات هیستوگرامی یک عارضه مشخص با بردار حالت  $X_t^i$  در فریم  $t$  با عوارض استخراج شده در فریم  $t+1$  ( $b_{t+1}^j \in B_{t+1}$ ) به صورت  $P_c(b_{t+1}^j / X_t^i)$  نشان داده می‌شود که از طریق تقاطع هیستوگرامها قابل محاسبه می‌باشد. احتمال مبتنی بر قید متوسط درجات خاکستری یک عارضه مشخص در فریم  $t$  با عوارض استخراج شده در فریم  $t+1$  به صورت تفاوت این مقادیر از یکدیگر و نرمالیزه کردن آن‌ها نسبت به بیشترین مقدار قابل محاسبه می‌باشد. همچنین جهت محاسبه احتمال مبتنی بر قید سایز عوارض، از مقایسه انحراف معیار عارضه استخراج شده در فریم  $t$  با عوارض استخراج شده در فریم  $t+1$  استفاده می‌گردد.

در نهایت با فرض عدم وابستگی قیود هندسی و رادیومتریکی نسبت به یکدیگر، احتمال متناظر بودن عارضه استخراج شده در فریم  $t$  با عوارض استخراج شده در فریم  $t+1$  به صورت زیر قابل محاسبه می‌باشد:

$$P(b_{t+1}^j / X_t^i, \delta_c^i, \delta_g^i, \delta_a^i) = P_m(b_{t+1}^j / X_t^i) \\ P_c(b_{t+1}^j / X_t^i) P_g(b_{t+1}^j / X_t^i) P_a(b_{t+1}^j / X_t^i) \quad (11)$$

#### ۳-۲-۳- تناظریابی عوارض<sup>۱</sup>

هدف از ردیابی عوارض، تناظریابی یک به یک بین مجموعه عوارض استخراج شده در فریم  $t$  و مجموعه عوارض استخراج شده در فریم  $t+1$  می‌باشد. همانگونه که در بخش‌های قبلی ذکر گردید، با استخراج اطلاعات مبتنی بر قیود هندسی و رادیومتریک عوارض متحرک در فریمهای متوالی، می‌توان احتمال متناظر بودن هر زوج عارضه مختلف در این فریمهای را محاسبه نمود. با استفاده از احتمال‌های محاسبه شده بین زوج عارضه‌های

<sup>۱</sup> Data Association

فریم‌های پنجره زمانی با استفاده از اپراتور SURF نزدیکترین همسایگی و RANSAC به فریم مورد بررسی انتقال می‌یابد (شکل ۳). سپس با استفاده از مجموع تفاوت فریم‌های قبلی و بعدی، و پس پردازش‌های آن‌ها تفاوت فریم جمع‌شونده تولید می‌گردد. در انتهای استفاده از الگوریتم Connected Component Labeling عوارض مستقل استخراج و اطلاعات آماری آن‌ها ذخیره می‌گردد (شکل ۴). در گام دوم به منظور ردیابی عوارض استخراج شده، از الگوریتمی مبتنی بر قیود هندسی و رادیومتریکی استفاده می‌گردد (شکل ۵).

تصاویر توسط درختان پوشیده، و یا در سایه‌ی آن‌ها قرار می‌گیرند. اهمیت این مجموعه داده نیز جهت ارزیابی توانایی روش‌های استخراج عوارض متحرک می‌باشد، زیرا این مجموعه شامل عوارض ارتفاعی است که با توجه به خطای پارالاکس، آن‌ها نیز تحت عوارض متحرک استخراج می‌شوند. شکل ۲ نمایی از فریم‌های این مجموعه تصاویر ویدئویی را نشان می‌دهد.

همانطور که در بخش‌های پیشین بیان گردید، استخراج و ردیابی عوارض متحرک از دو گام اساسی استخراج عوارض متحرک و ردیابی آن‌ها تشکیل گردیده است. در گام ابتدایی پس از پیش پردازش تصاویر،



فریم ۷۲۷۶



فریم ۱۹۵۱



فریم ۰۷۲۱



فریم ۰۰۶۶



فریم ۰۰۶۶



فریم ۰۰۲۳



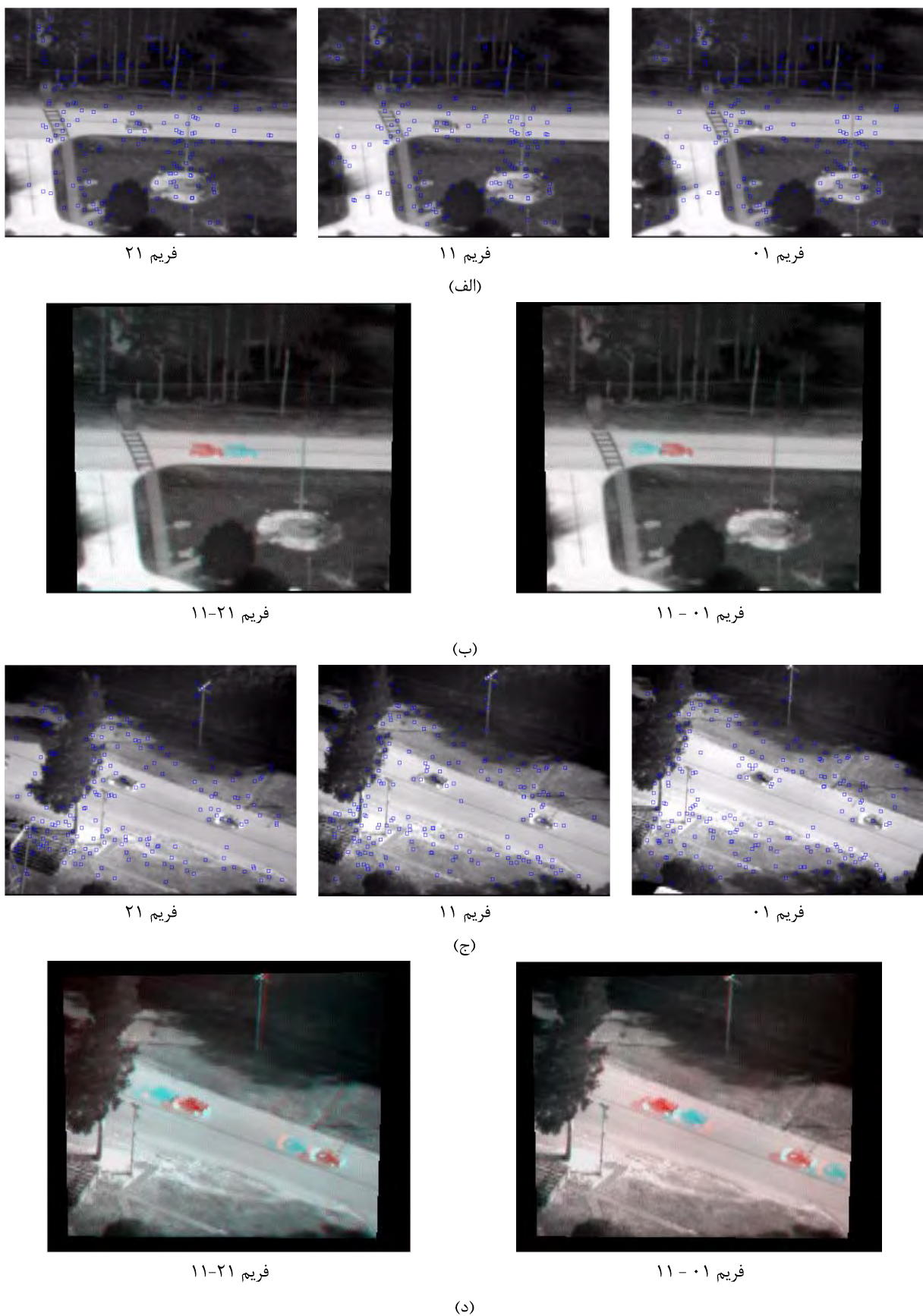
فریم ۰۱۲۵



فریم ۰۰۳۱

شکل ۲- نمایی از فریم‌های مجموعه داده‌های مورد استفاده جهت ارزیابی توانایی روش ارائه شده در استخراج و ردیابی عوارض متحرک

ارائه یک روش ترکیبی به منظور استخراج و ردیابی عوارض متحرک در فریم تصاویر ویدئویی جو تگر مادون قرمز



شکل ۳- نمایی از نقاط استخراج شده و انتقال فریم‌های پنجره زمانی به فریم مورد بررسی در مجموعه ویدئوهای سوم و چهارم

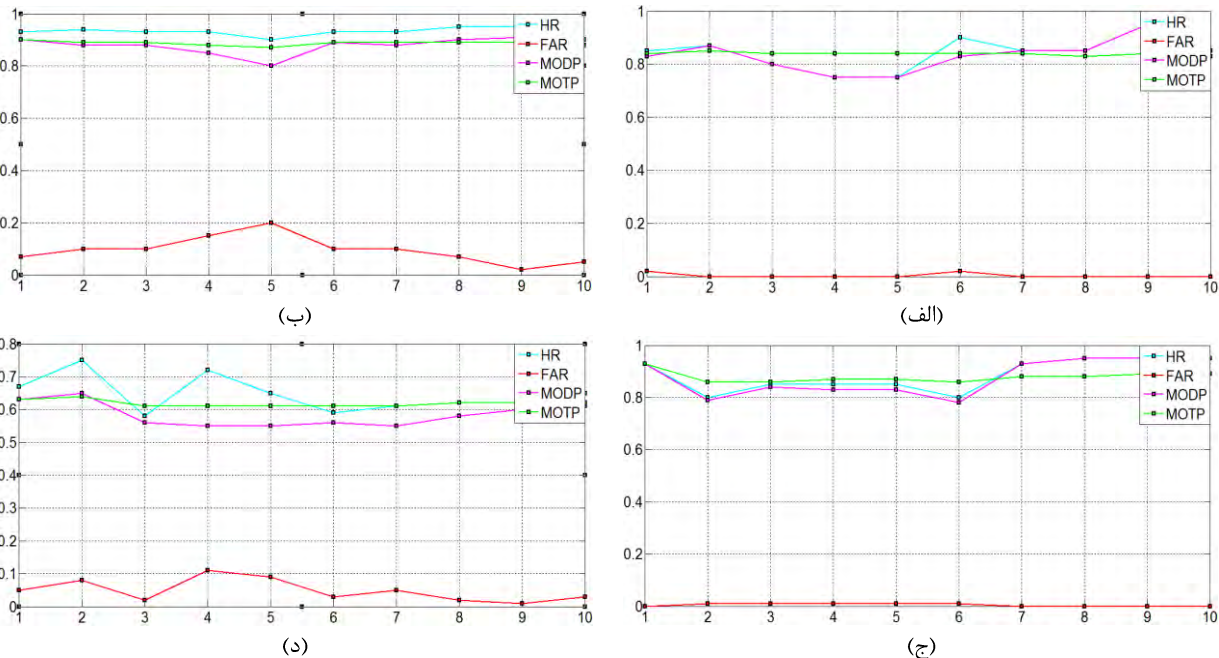


شکل ۴- نتایج بدست آمده از الگوریتم استخراج عوارض برای دو فریم از هر مجموعه تصاویر ویدئویی

ارائه یک روش ترکیبی به منظور استخراج و ردیابی عوارض متحرک در فریم تصاویر ویدئویی جوگر مادون قرمز



شکل ۵- نتایج بدست آمده از الگوریتم ردیابی عوارض برای دو فریم از هر مجموعه تصاویر ویدئویی



شکل ۶- نتایج بدست آمده از روش ارائه شده در هر مجموعه تصاویر ویدئویی

در این رابطه،  $H$  و  $M$  ناحیه درست، اشتباه و تشخیص نداده شده می‌باشدند.  $G_i^{(t)}$  و  $D_i^{(t)}$  بیانگر عارضه واقعی و استخراج شده نام در فریم  $t$ ام می‌باشدند. همچنین  $N_{mapped}^t$  مشخص کننده تعداد عارضه تصویر شده در فریم  $t$ ام می‌باشد. همانگونه که در شکل ۳ نشان داده شده است، روند پیشنهادی در جبران حرکت ناشی از سکو و سنجنده دارای عملکرد بالایی بوده، و همچنین با توجه به شکل ۴ پس پردازش‌های استخراج عوارض برای حذف عوارض غیر متحرک ناشی از خطاهای تطبیق، پارالاکس و ... کارایی مناسبی دارد. بعلاوه با توجه به اشکال ۴ و ۵، روند پیشنهادی توانایی استخراج و ردیابی عوارض متحرک مختلفی نظیر عابر، دوچرخه، موتور سیکلت، و انواع خودروهای سواری با خصوصیات حرکتی گوناگون را با دقت و قابلیت اعتماد زیادی دارد. با توجه به شکل ۶ می‌توان بیان نمود که عملکرد سنجنده دارای تأثیر مستقیمی بر قابلیت اعتماد روند پیشنهادی به منظور استخراج و ردیابی عوارض متحرک دارد، زیرا در مجموعه ویدئویی دوم با تغییر gain دوربین مشاهده می‌شود عوارض غیر متحرکی نیز به عنوان عوارض متحرک پذیرفته می‌شوند و بدین ترتیب متريک FAR در بخش‌هایی افزایش یافته است. اين در حالیست که در اين مجموعه ویدئویی به دليل ثابت بودن سکو هیچ‌گونه

در ادامه به منظور ارزیابی توانایی روش ارائه شده در استخراج و ردیابی عوارض متحرک، از متريک‌های مختلفی (رابطه ۱۳) نظير  $HR$ ،  $FAR$ ،  $MODP$  و  $MOTP$  [۲۶] استفاده شده است. فريمهای متفاوتی برای اين منظور مورد استفاده قرار گرفته‌اند که داراي شرایطی نظير فاصله نزديک و يا دور از سنجنده، تفاوت در سايز عوارض (عابر، دوچرخه، موتور سیکلت، و خودروی سواری)، پنهان شدگی بخشی و يا تمام عوارض موردن بررسی، می‌باشند (شکل ۶).

$$\begin{aligned} HR &= \frac{H}{H+M} \\ FAR &= \frac{F}{H+F} \\ MODP &= \frac{1}{N_{mapped}^t} \sum_{i=1}^{N_{mapped}^t} \frac{|G_i^{(t)} \cap D_i^{(t)}|}{|G_i^{(t)} \cup D_i^{(t)}|} \\ MOTP &= \frac{1}{\sum_{j=1}^{N_{frames}} N_{mapped}^j} \sum_{i=1}^{N_{frames}} \sum_{t=1}^{N_{frames}} \left[ \frac{|G_t^{(t)} \cap D_i^{(t)}|}{|G_t^{(t)} \cup D_i^{(t)}|} \right] \end{aligned} \quad (13)$$

<sup>۱</sup> Hit Rate

<sup>۲</sup> False Alarm Rate

<sup>۳</sup> Multi Object Detection Precision

<sup>۴</sup> Multi Object Tracking Precision

استفاده از الگوریتم‌های تناظریابی عارضه‌منا حرکت ایجاد شده توسط جابجایی سکو حذف می‌گردد. سپس با استفاده از الگوریتم تفاوت فریم‌های جمع‌شونده، عوارض متحرک استخراج و در نهایت با استفاده از الگوریتمی مبتنی بر قیود هندسی و رادیومتریکی نظریه مدل کینماتیک سرعت ثابت، تقاطع هیستوگرامها، متوجه درجات خاکستری و سایز عوارض، عوارض استخراج شده فریم به فریم ردیابی می‌شوند. به منظور ارزیابی توانایی روش ارائه شده، عوارض متحرک در مجموعه داده‌های دارای پیچیدگی‌های مختلف و با شرایط متفاوت استخراج و ردیابی گردید. با توجه به نتایج بدست آمده، روش ارائه شده توانایی ردیابی عوارض متحرک نظریه انسان، دوچرخه، موتور سیکلت و انواع خودروهای سواری را به صورت مؤثر و کارآمد دارد.

خطای ناشی از تطبیق و پارالاکسی وجود ندارد. همچنین تطبیق تصاویر و پس پردازش‌های گام استخراج عوارض نیز تأثیر بسزایی در این متريک دارند به نحوی که در مجموعه ويدئوي چهارم که شامل عوارض متنوع ارتفاعی می‌باشد خطاهای پارالاکس زیادی در مرحله‌ی تطبیق وجود داشته که به صورت کلی این عوارض ارتفاعی به عنوان عوارض متحرک در نظر گرفته می‌شوند و طی عملیات پس پردازشی این نوع عوارض بايستی حذف گرددند.

## ۵- نتیجه‌گیری

در این تحقیق روشی نوین در زمینه ردیابی عوارض به منظور افزایش قابلیت اعتماد، سرعت و دقت در استخراج و ردیابی عوارض ارائه شده است. به همین منظور ابتدا با

## مراجع

- [1] H. Yalcin, M. Hebert, R. Collins, and M. J. Black, "A flow-based approach to vehicle detection and background mosaicking in airborne video," in Computer Vision and Pattern Recognition, 2005. CVPR 2005. IEEE Computer Society Conference on, 2005, vol. 2, p. 1202-vol.
- [2] P. Arambel, "A multiple-hypothesis tracking of multiple ground targets from aerial video with dynamic sensor control," DTIC Document, 2004.
- [3] R. Lin, X. Cao, Y. Xu, C. Wu, and H. Qiao, "Airborne moving vehicle detection for video surveillance of urban traffic," in Intelligent Vehicles Symposium, 2009 IEEE, 2009, pp. 203–208
- [4] S. Ali and M. Shah, "Cocoa-tracking in aerial imagery," Airborne Intelligence, Surveillance, Reconnaissance (ISR) Systems and Applications III, vol. 6209, no. 1, 2006.
- [5] S. Y. Elhabian, K. M. El-Sayed, and S. H. Ahmed, "Moving object detection in spatial domain using background removal techniques-state-of-art," Recent patents on computer science, vol. 1, no. 1, pp. 32–54, 2008
- [6] A. D. Jepson, D. J. Fleet, and T. F. El-Maraghi, "Robust online appearance models for visual tracking," Pattern Analysis and Machine Intelligence, IEEE Transactions on, vol. 25, no. 10, pp. 1296–1311, 2003.
- [7] J. Xiao, C. Yang, F. Han, and H. Cheng, "Vehicle and person tracking in aerial videos," Multimodal Technologies for Perception of Humans, pp. 203–214, 2008
- [8] H. Zhang and F. Yuan, "Vehicle tracking based on image alignment in aerial videos," in Proceedings of the 6th international conference on Energy minimization methods in computer vision and pattern recognition, 2007, pp. 295–302.
- [9] A. Yilmaz, O. Javed, and M. Shah, "Object tracking: A survey," ACM Computing Surveys (CSUR), vol. 38, no. 4, p. 13, 2006.
- [10] M. Isard and A. Blake, "Condensation—conditional density propagation for visual tracking," International journal of computer vision, vol. 29, no. 1, pp. 5–28, 1998.
- [11] S. Bhattacharya, H. Idrees, I. Saleemi, S. Ali, and M. Shah, "Moving Object Detection and Tracking in Forward Looking Infra-Red Aerial Imagery," Machine Vision Beyond Visible Spectrum, pp. 221–252, 2011.

- [12] Z. Chaohui, D. Xiaohui, X. Shuoyu, S. Zheng, and L. Min, "An improved moving object detection algorithm based on frame difference and edge detection," in *Image and Graphics, 2007. ICIG 2007. Fourth International Conference on*, 2007, pp. 519–523.
- [13] A. G. A. Perera, C. Srinivas, A. Hoogs, G. Brooksby, and W. Hu, "Multi-object tracking through simultaneous long occlusions and split-merge conditions," in *Computer Vision and Pattern Recognition, 2006 IEEE Computer Society Conference on*, 2006, vol. 1, pp. 666–673.
- [14] B. Leibe, K. Schindler, and L. Van Gool, "Coupled detection and trajectory estimation for multi-object tracking," in *Computer Vision, 2007. ICCV 2007. IEEE 11th International Conference on*, 2007, pp. 1–8.
- [15] M. Andriluka, S. Roth, and B. Schiele, "People-tracking-by-detection and people-detection-by-tracking," in *Computer Vision and Pattern Recognition, 2008*, pp. 1–8
- [16] M. Y. Liu, Q. H. Dai, X. D. Liu, and G. H. Er, "Automatic extraction of initial moving object based on advanced feature and video analysis," in *Proceedings of SPIE*, 2005, vol. 5960, p. 59600I.
- [17] A. Hakeem, K. Shafique, and M. Shah, "An object-based video coding framework for video sequences obtained from static cameras," in *Proceedings of the 13th annual ACM international conference on Multimedia*, 2005, pp. 608–617.
- [18] K. Gupta and A. V. Kulkarni, "Implementation of an Automated Single Camera Object Tracking System Using Frame Differencing and Dynamic Template Matching," *Advances in Computer and Information Sciences and Engineering*, pp. 245–250, 2008.
- [19] S. Johnsen and A. Tews, "Real-time object tracking and classification using a static camera," in *Proceedings of IEEE International Conference on Robotics and Automation, workshop on People Detection and Tracking*, 2009.
- [20] L. Maddalena and A. Petrosino, "Moving Object Detection for Real-Time Applications," in *Image Analysis and Processing, 2007. ICIAP 2007. 14th International Conference on*, 2007, pp. 542–547.
- [21] Y. Du, A. Zhou, and F. Yuan, "Moving object detection for video monitoring systems," in *Proceedings of 2007 8th International Conference on Electronic Measurement & Instruments, Xi'an China*, 2007, vol. 2, pp. 2814–2817.
- [22] Z. Yin and R. Collins, "Moving object localization in thermal imagery by forward-backward MHI," in *Computer Vision and Pattern Recognition Workshop, 2006. CVPRW'06. Conference on*, 2006, p. 133–133.
- [23] X. Zheng, Y. Zhao, N. Li, and H. Wu, "An Automatic Moving Object Detection Algorithm for Video Surveillance Applications," in *Embedded Software and Systems, 2009. ICESS'09. International Conference on*, 2009, pp. 541–543.
- [24] W. Huang, P. Xiao, and G. Feng, "Extraction and track of indoor moving human with shadow elimination," *Jisuanji Gongcheng/ Computer Engineering*, vol. 33, no. 5, pp. 170–172, 2007.
- [25] S. Mann and R.W. Picard, "Video orbits of the projective group a simple approach to featureless estimation of parameters," *Image Processing, IEEE Transaction on*, vol. 6, no. 9, pp. 1281–1295, 2002.
- [26] R. Kasturi et al., "Performance evaluation protocol for face, person and vehicle detection & tracking in video analysis and content extraction (VACE-II)," *Computer Science & Engineering University of South Florida, Tampa, FL, USA*, 2006.

